

よい。

以上のことから、定常等流の浮砂輸送の最大値：  
 $\bar{m}_c$  は次式で与えられる。

$$\bar{m}_c = \frac{1}{\kappa g} \ln \frac{h}{y_0} \cdot \frac{U_*^3}{\gamma w_0 h} \quad \dots \dots \dots (3.5)$$

しかるに

$$U_*^2 = ghI \quad \dots \dots \dots (3.6)$$

ただし  $I$ ：エネルギー勾配

また  $\ln \frac{h}{y_0}$  は Reynolds 数によつてわずかに変化する数で、

$$\ln \frac{h}{y_0} = \ln \frac{R}{\beta} \sqrt{\frac{2}{f}} \quad \dots \dots \dots (3.7)$$

(3.6), (3.7)を用いると輸送し得る最大平均濃度は、

$$\bar{m}_c = \frac{\sqrt{g}}{\kappa} \ln \frac{R}{\beta} \sqrt{\frac{2}{f}} \cdot \frac{\sqrt{hI^3}}{\gamma w_0} \quad \dots \dots \dots (3.8)$$

すなわち  $\bar{m}_c$  は、粒子の比重、沈降速度(粒径)に逆比例し、水深の  $1/2$  乗、勾配の  $3/2$  乗に比例することになる。

以上の議論は、エネルギーの方法から導いた安定理論を基礎としているので、 $\Theta=1$  の 1 にはもちろん重きをおくことはできないけれども、乱流輸送の最大値に及ぼす、諸種の要素を解明するには、充分である。

#### 4. 結び

以上はすべて滑面開水路についての計算であるが、境界壁の凸凹が、粘性層の厚さを起す場合は、(2.13) の積分下限を、粘性に無関係な値  $y_0 = \beta k$  として同様な計算を進めればよく、この場合の流速式は、

$$U = \frac{U_*}{\kappa} \left[ \ln \frac{y}{k} - \ln \beta - \frac{\gamma}{2k} (m_0 - m) \right] \quad \dots \dots \dots (4.1)$$

ただし  $k$ ：境界壁の roughness element の平均

の高さ

$\beta$  : Roughness element の種類によつて定まる定数

この場合も  $y_0$  は小さいので、 $m_0$  は滑面の場合と同様河床濃度 (Roughness element の top 附近の濃度) と考えればよく、以下の計算は全く滑面の場合と同様である。

表現の簡単のため、濃度を小さいとして近似計算を進めたが、含有物質があるための流況の変化量はきわめて小さいので、この程度の近似度で、充分であると思う。

#### 参考文献

- 1) H. Rouse : Proc. of 5th International Congress of Applied Mechanics (1938, Sept.)  
W. Schmidt : Der Massenaustausch in freier Luft und verwandte Erscheinungen. Probleme der kosmischen Physik, 1925 Pt.7.
- 2) H. Rouse : Modern Conception of the Mechanics of Fluid Turbulence, Trans. A.S.C.E. vol. 102 (1937) p.536.
- 3) Vito A. Vanoni : Transportation of Suspended Sediment by Water, Proc. A.S.C.E. vol.70 (1944) p.793.
- 4) Theodor von Kármán : Some Aspect of Turbulent Probleme, Proc. of 4th International Cong. of Applied Mechanics. 1934, p.54~91.
- 5) Vito A. Vanoni : 前出 3).
- 6) H. Rouse : 前出 1)
- 7) Reichardt : Z. angew. Math. Mech. 20 (1940) 297~328.
- 8) 谷：乱流理論 p.27.
- 9) S. Goldstein : Modern Developments in Fluid Dynamics, 1938 vol.1 p.229.

(昭.28.3.3)

## 地震時の STABILITY NUMBER について\*

正員 工学博士 倉田宗章\*\*

### ON STABILITY NUMBERS AT EARTHQUAKE TIME

(JSCE Nov. 1953)

Dr. Eng., Muneaki Kurata, C.E. Member

**Synopsis** The author presents the charts of stability number prepared for investigating the slope failure of cuts and embankments by inclined gravity force.

These charts may be applied for determination of the maximum height of slope which can be stable at earthquake time, in this paper the other application is also delivered. The assumption is established as the failure line is circular arc. The charts are produced through graphical process.

\*昭.28.5.24, 土木学会第9回年次学術講演会にて発表

\*\*北海道大学助教授, 工学部土木工学教室



つた最大法面高  $H$  が求められるわけである。すなわち、

$$H = \frac{C}{C_m' k_r S} \quad \dots \dots \dots (3)$$

特に  $C_m'$  を Stability number と名づけ、地震力のない場合 ( $k_h = k_b = 0$ ) に対して Taylor は法面傾斜角  $i$ , 土の内部摩擦角  $\phi$  のいろいろの値に対して図表を作製している。

## 2. 傾斜重力に対する Stability number の図表作製概要

仮想法面について辺り円を仮定してそれぞれ 図-3 のごとく記号を定める。いま、

$$\lambda = \frac{1}{2 \sin \theta},$$

とおけば  $\overline{AB} = \lambda$ ,  
影線を施せる欠円部分の面

$$\text{積: } f = f' \left( \frac{\lambda}{\sin \alpha} \right)^2,$$

$O$  点より欠円部分の重心までの距離:

$$y_s = \frac{8 \lambda^3}{12 f}, \quad OE = \lambda \cot \alpha,$$

$O$  点より粘着抵抗合力  $L \cdot C_m$  までの距離:

$$a = \frac{\lambda l'}{2 \sin^2 \alpha},$$

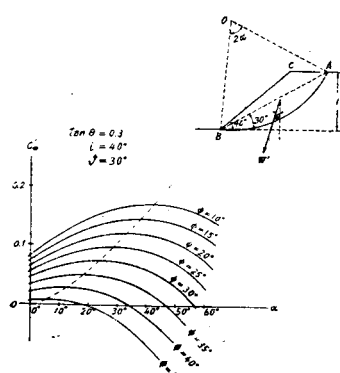
$$\triangle ABC \text{ の面積} = \frac{1}{2} (\cot \theta - \cot i),$$

$$\text{摩擦円の半径} = \lambda \frac{\sin \phi}{\sin \alpha},$$

ただし上式中の  $f', l'$  は半径 1 なる円において中心角  $2\alpha$  を眺める欠円部分の面積並びに弧長であつて、いづれも  $2\alpha$  を引数とする数値表が与えられている。

上記の諸量は作図に必要な数値であつて、それぞれ角  $\theta$  及び  $\alpha$  を変数として表わしてある。従つて  $i$ ,  $\phi$ , および  $W'$  の方向が与えられるとまづ  $\theta$  を仮定し

図-4



$\alpha$  のいろいろの値につき作図を繰返すことにより、その  $\theta$  に対する  $C_m'$  の極大値を求めることができる。いま  $W'$  の作用線が鉛直線となす角を  $\theta$  とし  $\tan \theta = 0.3$ ,  $i = 40^\circ$

のとき  $\theta = 30^\circ$  なる場合の一例を示せば図-4 のごとくであつて、同図には  $\theta$  の 8 種の値に対し、 $\alpha$  を変数とした場合の  $C_m'$  の曲線群を示してある。

なお図中の破線は  $C_m'$  の曲線群の極大値を連ねたものである。すなわちこの破線上に並ぶ  $C_m'$  の値が  $\theta = 30^\circ$  のときの極大値にほかならない。

さてかくのごとき図を  $\theta$  の種々の値に対して作図し  $C_m'$  の極大値をそれぞれ求めれば  $\theta$  を変数とせよとき  $C_m'$  の極大値のみを連ねる曲線群を得る(図-5)。

かくして得た

曲線群において

$C_m'$  の極大値を

判読すれば(図

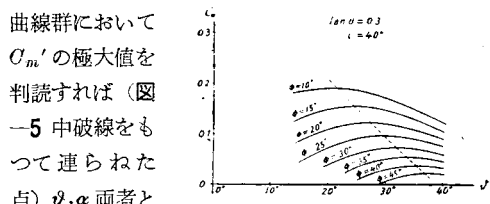
-5 中破線をも

つて連ねた

点)  $\theta, \alpha$  両者と

もに変動せしめた場合における  $C_m'$  の極大値を与えるものである。只今の例では図-5 中の破線で連ねた点における  $C_m'$  の値は  $\tan \theta = 0.3$ ,  $i = 40^\circ$  の場合における  $C_m'$  の極大値にほかならない。

図-5



## 3. 傾斜重力の働く法面の Stability number の図表

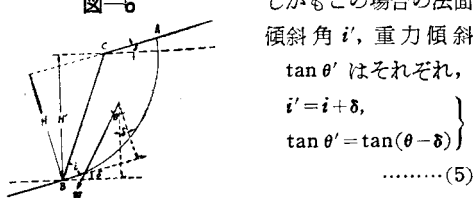
前節に概説せるごとき作図を  $\tan \theta = 0, 0.1, 0.2, 0.3, 0.4, 0.5, 0.6$  の 7 通りの場合につき、種々の  $i$  について行い、 $i$  を変数とせる場合の  $C_m'$ 、すなわち Stability number の図表を作製した。ただし  $\tan \theta = 0$  の時は地震力の働くかない場合であつて Taylor の与えた図表に一致するものとなつたことは云うまでもない(D. P. Krynine "Soil Mechanics" Fig. 174)。附図-1 ないし 附図-7 は求めた結果である。

## 4. 図表の応用

土楔に傾斜方向の重力が働く場合の図表を得たので、これ等の図表を用いて、もしくは補間法を適用して法肩上面が水平でなく、ある傾斜角  $\delta$  をもつ場合の法面安定を検査することができる。すなわち図-6 に示すごとく図-1 の図をそのままだけ廻転せしめれば只今の場合に該当するわけである。ただしこの場合算出法高  $H$  も傾斜することになるから、この場合の法高  $H'$  は次式で計算しなくてはならない。

$$H' = H \frac{\sin(i + \delta)}{\sin i} \quad \dots \dots \dots (4)$$

図-6



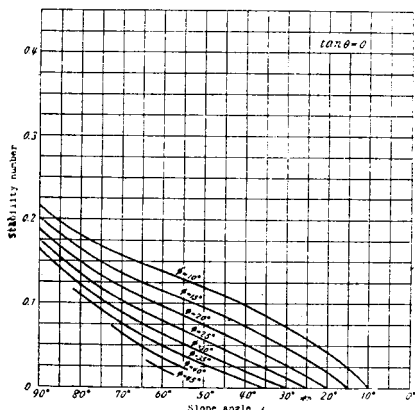
しかもこの場合の法面傾斜角  $i'$ 、重力傾斜  $\tan \theta'$  はそれぞれ、  
 $i' = i + \delta$ ,  
 $\tan \theta' = \tan(\theta - \delta)$

$$\dots \dots \dots (5)$$

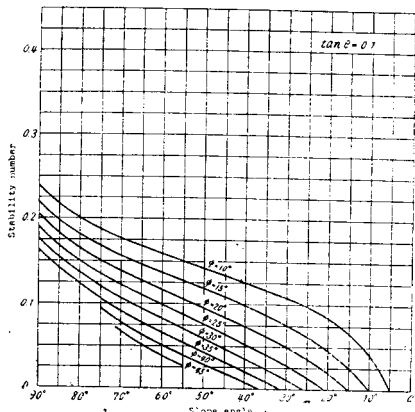
であることを考慮せねばならぬ。

例えば法面傾斜角  $i$ , 法肩上面の傾斜角  $\delta$  が与えられ, 合震度  $K = \tan \theta' \frac{k_h}{1 \pm k_v}$  なる地震力を考えて鉛直法高  $H'$  を求めるには, まず図を廻転して法肩上面を水平にまで持つてみると, そのときの法面傾斜角  $i$ , 及び重力傾斜  $\tan \theta$  は(5)式によりそれぞれ  $i = i' - \delta$ ,  $\tan \theta = \tan(\theta' + \delta)$  で計算される。よつて  $\tan \theta$  に該当する附図を用い, あるいはこの値を挟む2枚の附図を用いて補間することとし, 前記法面傾斜角  $i$ , 及びかかる地震時に對して適当に評価された内部摩擦角  $\phi$  に該当する Stability number  $C_m'$  を読み取る。あるいは補間値を求める。しかる時は, 土の重量  $\gamma$ , 及び最大粘着力  $C$  が与えられれば,  $k$  は水平, 鉛直の両震度より定まる値であり,  $S$  は適當な安全率であるから(3)式により  $H'$  が求まる。従つて(4)式により求める鉛直法高  $H'$  が計算されることとなるのである。

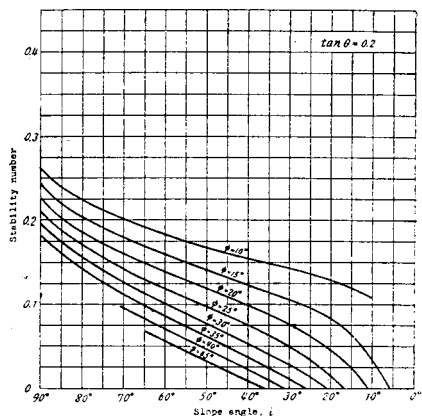
附図-1



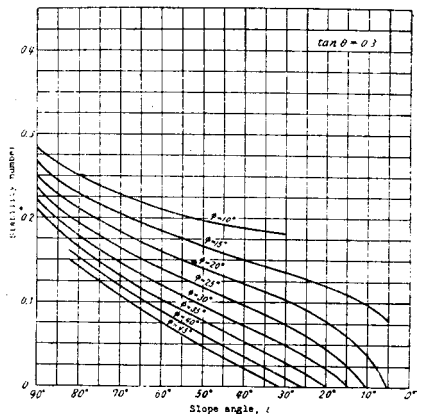
附図-2



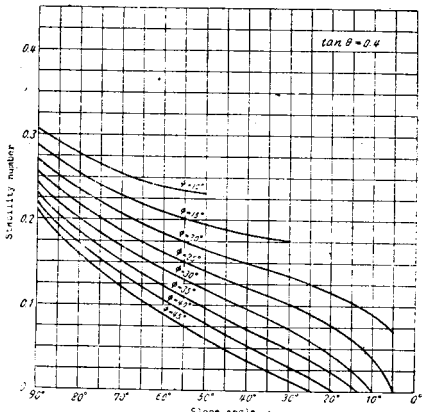
附図-3



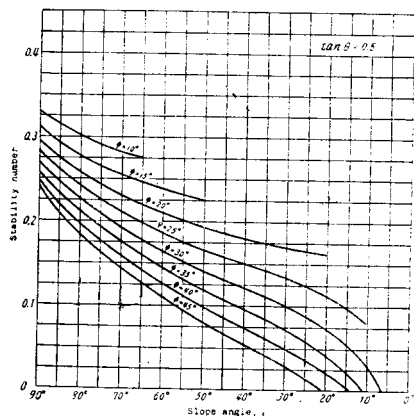
附図-4



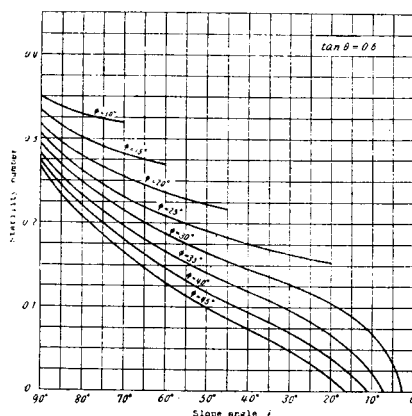
附図-5



附図-6



附図-7



る。この方法により地盤力を考えず、法肩上面傾斜のみを考える場合の計算も可能なことは、云うまでもない。実際計算してみると附図の利用できる範囲内では

$\pm \delta$  の変化に対して  $H'$  は僅少の差異を示すに過ぎないようである。

(昭.28.6.26)

## 余水路における衝撃波の実験的研究\*

准員 石原 安雄\*\*

### EXPERIMENTAL STUDY OF THE SHOCK WAVE ON OVERFLOW SPILLWAY

(JSCE Nov. 1953)

Yasuo Ishihara, C.E. Assoc. Member

**Synopsis** Applying the theory of shock wave used in supersonic flow, the author proposed a method to analyse the shock wave on overflow spillway and discussed this method, in comparison with his experimental results.

**要旨** 超音速流に用いられる衝撃波の理論を応用して、余水路における衝撃波の解析法を提案し、実験結果と比較検討したものである。

#### 1. まえがき

余水路における流れは、一般に超限界流、すなわち射流をなし、導流壁などの境界面の変化によって衝撃波を生ずることは、低限界流、すなわち常流では見られない大きい特徴である。ところが従来余水路の水理計算では、この衝撃波をほとんど考えずに、普通の水面形の計算法をそのまま用いていたようである。こうした本質的な過誤のために、ときには導流壁の高さが不足した越流し、附近の構造物の基礎や河岸を洗掘崩壊せしめたり、その他種々の不都合を生ずる場合が

ある。本研究はこの現象を水理学的に解明し、余水路の合理的設計や災害の防止に役立てようとしたものである。

一般に超音速流と開水路の射流との間には類似性が成立するから、従来前者の研究に際して開水路における実験が利用されてきたわけであるが、逆に前者の理論を後者に利用できることは云うまでもない<sup>1)</sup>。この点については、1938年 von Kármán<sup>2)</sup> が指針を与えて以来、特に米国で A.T.Ippen, R.T.Knapp<sup>3),4)</sup>などによつて研究が進められ、相当の成果をあげているようであるが、余水路におけるような不等流の場合はほとんど取り扱われていないようである。ここではこうした不等流における衝撃波について考察を進めた。

#### 2. 基礎理論

衝撃波の性質はよく知られているが、ここでは説明

\*昭.28.5.24, 土木学会第9回年次学術講演会にて  
講演

\*\*京都大学講師、工学部土木工学教室